

УДК 550.93+552.321.6 (470.5)

# О ВЕРХНЕЙ ВОЗРАСТНОЙ ГРАНИЦЕ ФОРМИРОВАНИЯ ДУНИТОВ ВОСТОЧНО-ХАБАРНИНСКОГО ГАББРО-УЛЬТРАМАФИТОВОГО КОМПЛЕКСА НА ЮЖНОМ УРАЛЕ ПО ДАННЫМ U–РЬ-ВОЗРАСТА ЦИРКОНОВ ИЗ ЖИЛЬНЫХ ГОРНБЛЕНДИТОВ

© 2011 г. И. А. Готтман, Е. В. Пушкарев, Н. М. Кудряшов

Представлено академиком Ю.М. Пущаровским 23.12.2010 г.

Поступило 14.12.2010 г.

Восточно-хабарнинский дунит-клинопироксенит-вебстерит-габбровый комплекс (ВХК) по набору пород, петрохимическим и геохимическим особенностям сопоставляется с габбро-гипербазитовыми комплексами Платиноносного пояса Урала, Корякии, Юго-Восточной Аляски и др. [1]. Считается, что формирование подобных комплексов происходит в конвергентных геотектонических обстановках островодужных областей, в зонах перехода океан–континент, хотя аналогичные образования известны и на платформах [2–4]. До недавнего времени представления о возрасте формирования таких комплексов основывались на палеонтологических и геохронологических данных, полученных по вмещающим породам, с которыми массивы имеют тектонические контакты.

В последнее время проведены многочисленные изотопно-геохронологические исследования, позволившие получить информацию о возрасте ультраосновных пород и габброидов, непосредственно формирующих комплексы урало-алексинского типа [5, 7–9 и др.]. Эти данные оказались неоднозначными и пока приводят лишь к усложнению общей картины. Например, на Урале возраст пород, входящих в структуру дунит-клинопироксенит-габбровых массивов Платиноносного пояса, полученный разными авторами и методами, охватывает интервал от венда до позднего палеозоя, а возраст цирконов из этих пород – от архея до мезозоя. Наиболее дискуссионным остается вопрос о времени образования дунитов, так как эти породы все еще трудно датировать прямыми изотопными методами и вся информация об их возрасте получена при изотопном U–РЬ-

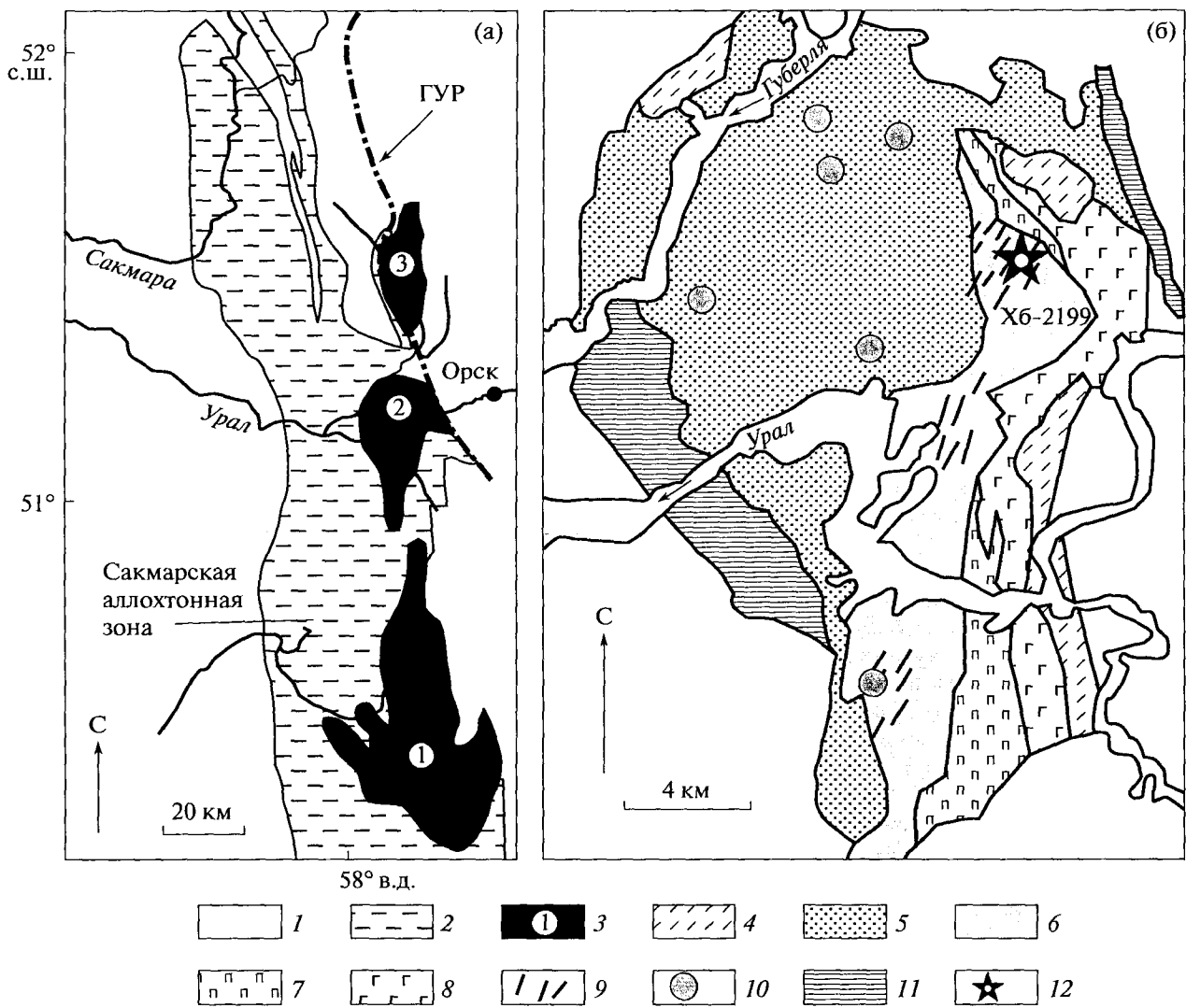
изучении извлеченных из них цирконов. Как правило, дуниты содержат несколько популяций цирконов с различными геохимическими характеристиками и возрастом [5–9]. Природа цирконов в дунитах является самостоятельной минералогической проблемой и здесь не рассматривается, а оценка возраста образования дунитов по возрасту цирконов все еще во многом зависит от научных предпочтений авторов.

Верхний возрастной предел формирования дунитов может быть определен по возрасту жильных пород, секущих ультрамафиты и генетически связанных с ними. К таким породам относятся мелкозернистые жильные горнблендиты (иситы), которые образуют многочисленные дайки и тела эруптивных брекчий в дунитах и реже в клинопироксенитах. Жильные горнблендиты никогда не выходят за пределы ультраосновных тел, обладают минералогическими и петрогохимическими особенностями, указывающими на их генетическое родство с ультрамафитами. Жильные горнблендиты рассматриваются как своеобразные пегматиты основного состава, завершающие становление дунит-клинопироксенитовых серий [10].

Изученные нами горнблендиты образуют многочисленные дайки мощностью до нескольких метров и протяженностью до 100 и более метров, секущие дуниты и связанные с ними хромититы восточно-хабарнинского дунит-клинопироксенит-вебстерит-габбрового комплекса на Южном Урале (рис. 1) [11]. Дайки сгруппированы в рои и формируют обширные жильные поля. Контакты даек с дунитами и рудами резкие. В контакте с ультрамафитами горнблендиты имеют мелкозернистую структуру, а в центре тел среднезернистую, более раскристаллизованную. Некоторые дайки содержат ксенолиты дунитов и хромититов, размером от нескольких миллиметров до полуметра. Количество ксенолитов иногда достигает 30–40 об. %, и в этом случае породы представля-

Институт геологии и геохимии им. А.Н. Заварецкого  
Уральского отделения Российской Академии наук,  
Екатеринбург

Геологический институт Кольского научного центра  
Российской Академии наук, Апатиты Мурманской обл.



**Рис. 1.** Положение крупных ультрамафит-мафитовых аллохтонов в структуре Сакмарской зоны Южного Урала (а) и схема геологического строения Хабарнинского магнит-ультрамафитового аллохтона [1] (б). 1 – палеозойские вмещающие породы параавтохтона, 2 – комплексы Сакмарской аллохтонной зоны, 3 – ультрамафит-мафитовые аллохтоны: 1 – Кемпирсайский, 2 – Хабарнинский, 3 – Халиловский; 4 – метаморфические породы основания Хабарнинского аллохтона; 5 – офиолитовый дунит-гарцбургитовый комплекс; 6–9 – восточно-хабарнинский комплекс (ВХК): 6 – дуниты, 7 – клинопироксениты и вебстериты, 8 – габбро-нориты, 9 – рои горнбллендитовых даек, секущих дуниты ВХК; 10 – кольцевые клинопироксенит-габбро-гранитоидные интрузивы молостовского комплекса, прорывающие породы офиолитового дунит-гарцбургитового комплекса; 11 – аккермановский верлит-габбро-плагиогранитный комплекс; 12 – положение датированной дайки горнбллендитов.

ют собой эруптивные брекчии с горнбллендитовым цементом [11].

Цирконы обнаружены в шлифах среднезернистых горнбллендитов центральной части дайки мощностью около 1 м, секущей дуниты ВХК в районе хромитового месторождения Карьер 9, расположенного в 4 км к северо-западу от пос. Хабарный. Химический состав горнбллендитов (среднее из двух определений), мас. %:  $\text{SiO}_2$  40.39,  $\text{TiO}_2$  1.32,  $\text{Al}_2\text{O}_3$  8.53,  $\text{Fe}_2\text{O}_3$  10.46,  $\text{FeO}$  5.38,  $\text{MnO}$  0.25,  $\text{MgO}$  16.11,  $\text{CaO}$  10.67,  $\text{Na}_2\text{O}$  1.46,  $\text{K}_2\text{O}$  0.88, п.п.п. 4.07. Для изотопных исследований из про-

бы весом около 10 кг по стандартной методике (дробление, отмучивание, магнитная сепарация, разделение в тяжелых жидкостях, ручная разборка) выделено несколько сотен зерен цирконов. Цирконы представляют собой идиоморфные кристаллы призматического облика, размером 150–400 мкм, с коэффициентом удлинения 2–3, полупрозрачные или непрозрачные. Цвет изменяется от красновато-коричневого и чайного до бесцветного.

При наблюдении в катодных лучах и в режиме обратнорассеянных электронов видно, что цирконы имеют широкое однородное идиоморфное

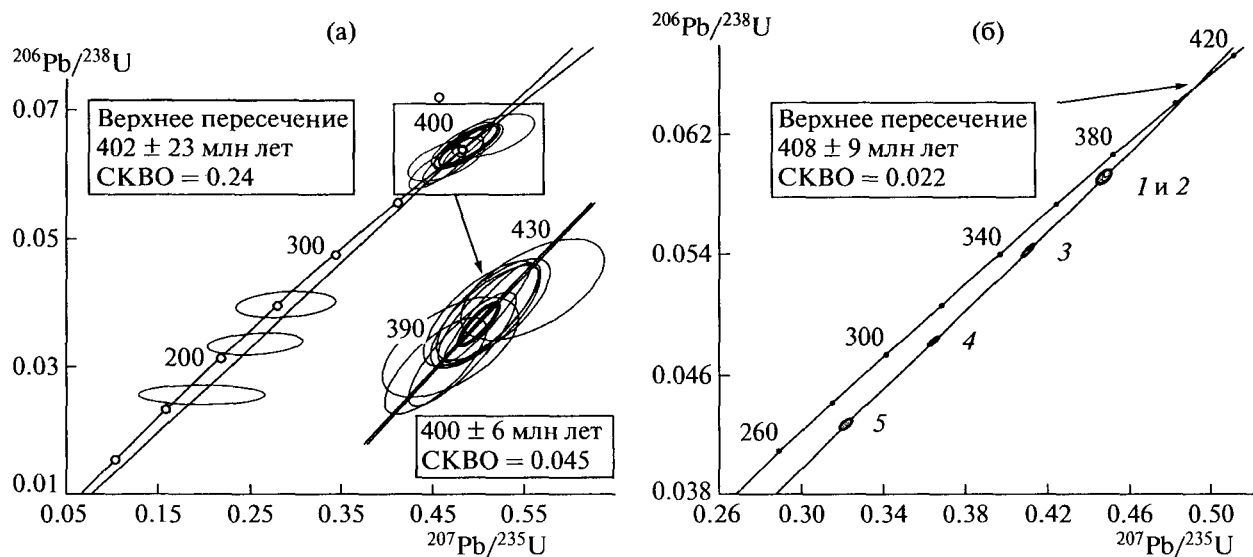


Рис. 2. U-Pb-диаграмма с конкордией для цирконов из жильных горнбледитов восточно-хабаринского дунит-клинопироксенит-габбрового комплекса: по данным SHRIMP-II (а) и ID-TIMS (б). 1–5 – номера фракций цирконов, см. табл. 2.

ядро, которое обрастает по краям зональной каймой. Эта кайма, в свою очередь, обрастает и замещается нелюминесцирующим цирконом с высоким содержанием урана. Цирконы содержат включения силикатных минералов. Зерна цирконов пронизаны сетью тонких трещин, при этом целостность кристаллов не нарушается. Отмечаются также признаки поверхностной регенерации граней дипирамиды.

U-Pb-датирование цирконов осуществлялось с использованием ионного микроанализатора

SHRIMP-II в Центре изотопных исследований ВСЕГЕИ под руководством С.А. Сергеева по стандартной методике и классическим термоионизационным методом на масс-спектрометре Finnigan MAT-262 (RPQ) в Геологическом институте КНЦ РАН (г. Апатиты) под руководством Т.Б. Баяновой.

На ионном микроанализаторе проанализировано двенадцать точек в семи зернах цирконов (семь измерений центральных частей зерен и пять – краевых). Девять определений пересчитываются на конкордантный возраст  $400 \pm 6$  млн лет (CKBO

Таблица 1. Результаты U-Pb-изотопных исследований цирконов из горнбледитов, по данным SHRIMP-II, проба Хб-2199

| Точка анализа | $^{206}\text{Pb}_c$ , % | U    | Th   | $^{206}\text{Pb}^*$ | $^{232}\text{Th}$                | Возраст $^{206}\text{Pb}/^{238}\text{U}$ , млн лет | Изотопные отношения              |         |                                   |         |                                    |         |                                    |         |
|---------------|-------------------------|------|------|---------------------|----------------------------------|--|----------------------------------|---------|-----------------------------------|---------|------------------------------------|---------|------------------------------------|---------|
|               |                         | г/т  |      |                     | $^{238}\text{U}/^{206}\text{Pb}$ |  | $^{238}\text{U}/^{206}\text{Pb}$ | $\pm\%$ | $^{207}\text{Pb}/^{206}\text{Pb}$ | $\pm\%$ | $^{207}\text{Pb}^*/^{235}\text{U}$ | $\pm\%$ | $^{206}\text{Pb}^*/^{238}\text{U}$ | $\pm\%$ |
| 1.1           | –                       | 1081 | 474  | 59.8                | 0.45                             | $402 \pm 8.3$                                      | 1553                             | 2.1     | 0.0541                            | 1.6     | 0.487                              | 2.8     | 0.0644                             | 2.1     |
| 2.1           | –                       | 1163 | 683  | 64.5                | 0.61                             | $403 \pm 8.3$                                      | 15.48                            | 2.1     | 0.0549                            | 1.5     | 0.489                              | 2.6     | 0.0646                             | 2.1     |
| 2.2           | 6.45                    | 2654 | 2361 | 97.2                | 0.92                             | $251 \pm 5.3$                                      | 23.45                            | 2.1     | 0.1042                            | 0.92    | 0.287                              | 7.7     | 0.0398                             | 2.1     |
| 3.1           | –                       | 1303 | 922  | 69.8                | 0.73                             | $389 \pm 9.3$                                      | 16.05                            | 2.5     | 0.0549                            | 1.5     | 0.473                              | 2.9     | 0.0623                             | 2.5     |
| 3.2           | 18.67                   | 3159 | 4672 | 87.0                | 1.53                             | $164 \pm 3.8$                                      | 31.20                            | 2.1     | 0.2068                            | 0.77    | 0.198                              | 14.0    | 0.0258                             | 2.3     |
| 4.1           | 0.09                    | 1089 | 357  | 60.8                | 0.34                             | $405 \pm 8.3$                                      | 15.39                            | 2.1     | 0.0557                            | 1.8     | 0.492                              | 2.9     | 0.0649                             | 2.1     |
| 4.2           | 7.63                    | 2863 | 3046 | 90.2                | 1.10                             | $214 \pm 4.5$                                      | 27.25                            | 2.1     | 0.1160                            | 0.9     | 0.254                              | 8.3     | 0.0338                             | 2.1     |
| 5.1           | 0.31                    | 553  | 166  | 29.7                | 0.31                             | $390 \pm 8.2$                                      | 15.96                            | 2.2     | 0.0566                            | 2.2     | 0.465                              | 3.7     | 0.0624                             | 2.2     |
| 6.1           | 0.01                    | 638  | 225  | 35.4                | 0.36                             | $403 \pm 8.5$                                      | 15.47                            | 2.2     | 0.0544                            | 2.0     | 0.484                              | 3.0     | 0.0647                             | 2.2     |
| 6.2           | 0.02                    | 4808 | 5087 | 267.0               | 1.09                             | $404 \pm 8$  | 15.45                            | 2.1     | 0.0549                            | 0.73    | 0.488                              | 2.2     | 0.0647                             | 2.1     |
| 7.1           | –                       | 838  | 437  | 44.0                | 0.54                             | $383 \pm 7.9$                                      | 16.34                            | 2.1     | 0.0538                            | 1.8     | 0.456                              | 2.8     | 0.0612                             | 2.1     |
| 7.2           | 0.00                    | 7985 | 4150 | 454.0               | 0.54                             | $413 \pm 8.2$                                      | 15.10                            | 2.1     | 0.0566                            | 2.9     | 0.516                              | 3.5     | 0.0662                             | 2.1     |

Примечание.  $\text{Pb}_c$  и  $\text{Pb}^*$  – общий и радиогенетический свинец соответственно, коррекция  $\text{Pb}_c$  по измеренному  $^{204}\text{Pb}$ .

**Таблица 2.** Результаты U–Pb-изотопных исследований цирконов из горнблендитов по данным ID-TIMS, проба Хб-2199

| № п/п | Фракция, мкм | Pb    | U   | Изотопные отношения                 |                                     |                                     |
|-------|--------------|-------|-----|-------------------------------------|-------------------------------------|-------------------------------------|
|       |              | мкг/г |     | $^{206}\text{Pb}/^{204}\text{Pb}^*$ | $^{207}\text{Pb}/^{206}\text{Pb}^*$ | $^{208}\text{Pb}/^{206}\text{Pb}^*$ |
| 1     | +100         | 49.3  | 778 | 1882                                | $0.0625 \pm 15$                     | $0.1650 \pm 7$                      |
| 2     | -100 + 75    | 44.1  | 693 | 1381                                | $0.0652 \pm 7$                      | $0.1705 \pm 2$                      |
| 3     | +75          | 52.5  | 893 | 1864                                | $0.0625 \pm 4$                      | $0.1817 \pm 1$                      |
| 4     | -75 + 50     | 24.4  | 453 | 812                                 | $0.0726 \pm 4$                      | $0.1907 \pm 1$                      |
| 5     | -50          | 11.5  | 253 | 1792                                | $0.0628 \pm 5$                      | $0.1612 \pm 1$                      |

| № п/п | Фракция, мкм | Изотопные отношения              |                                  | <i>R</i> | Возраст, млн лет                 |                                  |                                   |
|-------|--------------|----------------------------------|----------------------------------|----------|----------------------------------|----------------------------------|-----------------------------------|
|       |              | $^{206}\text{Pb}/^{238}\text{U}$ | $^{207}\text{Pb}/^{235}\text{U}$ |          | $^{206}\text{Pb}/^{238}\text{U}$ | $^{207}\text{Pb}/^{235}\text{U}$ | $^{207}\text{Pb}/^{206}\text{Pb}$ |
| 1     | +100         | $0.05937 \pm 30$                 | $0.4496 \pm 22$                  | 0.51     | $371 \pm 1.9$                    | $377 \pm 2.6$                    | $408 \pm 16$                      |
| 2     | -100 + 75    | $0.05937 \pm 38$                 | $0.4492 \pm 40$                  | 0.87     | $371 \pm 2.6$                    | $376 \pm 3.0$                    | $407 \pm 11$                      |
| 3     | +75          | $0.05455 \pm 27$                 | $0.4129 \pm 25$                  | 0.90     | $342 \pm 1.7$                    | $350 \pm 2.1$                    | $407 \pm 6$                       |
| 4     | -75 + 50     | $0.04856 \pm 24$                 | $0.3674 \pm 22$                  | 0.92     | $305 \pm 1.5$                    | $317 \pm 1.9$                    | $407 \pm 5$                       |
| 5     | -50          | $0.04306 \pm 17$                 | $0.3258 \pm 23$                  | 0.55     | $271 \pm 1.1$                    | $286 \pm 2.0$                    | $407 \pm 15$                      |

Примечание. Значения исправлены на масс-фракционирование, холостое загрязнение и обыкновенный свинец по модели Стейси–Крамерса [15]. Погрешности приведены на уровне  $2\sigma$  и соответствуют последним значащим цифрам после запятой.

= 0.045) (рис. 2а, табл. 1). Три зерна, возраст центральных ядер которых близок к 400 млн лет, имеют каймы с дискордантными значениями, равными 252, 214, 165 млн лет соответственно. Они характеризуются высокими содержаниями урана и отсутствием катодной люминесценции, что может свидетельствовать о метамиктном состоянии вещества. Пересчет всей совокупности полученных значений формирует дискордию с верхним пересечением конкордии в точке с возрастом  $402 \pm 23$  млн лет ( $\text{СКВО} = 0.24$ ) (рис. 2а), расположенной в пределах эллипса ошибок конкордантных значений.

Классическим термоионизационным методом проанализировано пять фракций циркона, разделенных по крупности (табл. 2) по методике, принятой в изотопной лаборатории ГИ КНЦ РАН (Апатиты). Значения возраста, полученные по всем фракциям, образовали дискордию, что свидетельствует о частичной потере цирконами радиогенного свинца. Две наиболее крупные фракции № 1 и № 2 показали сходные значения возраста, соответственно 371 и 377 млн лет, по двум изотопным отношениям (табл. 2). Верхнее пересечение дискордии с конкордией определяет возраст  $408 \pm 9$  млн лет ( $\text{СКВО} = 0.022$ ) (рис. 2б), который мы интерпретируем как возраст первичной кристаллизации циркона.

Присутствие в жильных горнблендитах, секущих дуниты ВХК, однотипных по строению и геохимии цирконов магматического облика говорит о том, что они являются собственными минералами горнблендитов и отражают время их кри-

сталлизации. Возраст цирконов, определенный двумя методами, соответственно  $402 \pm 23$  и  $408 \pm 9$  млн лет, свидетельствует о том, что формирование пород произошло в раннем девоне. Насколько нам известно, это первое определение возраста цирконов из горнблендитов Урала.

Данные об изотопном U–Pb-возрасте цирконов из жильных горнблендитов, секущих дуниты восточно-хабарнинского габбро-ультрамафитового комплекса на Южном Урале, указывают на их внедрение в дуниты с хромитовой минерализацией в раннем девоне (402–408 млн лет назад), что и определяет верхний возрастной предел формирования дунитов ВХК. Это согласуется с данными о возрасте вебстеритов и габброидов ВХК (412 млн лет), с которыми дуниты образуют единую ассоциацию [1, 12]. Ранее опубликованные данные по U–Pb-изотопной геохимии цирконов, извлеченных из дунитов ВХК, показали, что среди изученных минералов есть цирконы с архейскими, протерозойскими, ордовикскими, раннедевонскими и каменноугольными датировками [9]. Основываясь на минералогических и геохимических критериях, эти авторы пришли к заключению, что собственно дунитовые цирконы кристаллизовались в интервале 407–402 млн лет, что с учетом ошибки анализов перекрывается с возрастом горнблендитовых цирконов. Наблюдаемые различия в U–Th-геохимии дунитовых [9] и горнблендитовых (наши данные) цирконов отражают особенности состава минералообразующей среды и свидетельствуют о первичности цирконов в обоих типах пород. Близкие значения воз-

растя цирконов в этих породах подтверждают известное представление о том, что горнблендиты генетически связаны с ультраосновными породами и завершают своим внедрением становление дунит-клинопироксенитовых комплексов урало-аляскинского типа. В Хабарнинском массиве этому возрастному уровню соответствует внедрение дифференцированных клинопироксенит-габброгранитоидных интрузий молостовского комплекса, в состав которых также входят горнблендиты как производные от клинопироксенитовых магм породы [12].

Следует отметить, что горнблендиты, в том числе жильные, широко развиты в массивах Платиноносного пояса Урала. По данным О.К. Иванова [13], К-Аг-возраст горнблендитов, секущих дуниты массива Светлый Бор, соответствует раннему девону и равен 415 млн лет. Аналогичный возраст получен нами U–Pb-методом по циркону из меланократовых габброидов, которые ассоциируют с горнблендитами и вместе с ними прорывают дуниты и клинопироксениты Кытлымского массива Платиноносного пояса Урала [14].

Согласно данным [6 и др.] формирование дунит-клинопироксенит-габбровых комплексов на Урале происходило в венде и в ордовик-силурское время. Наши новые данные и результаты ранее проведенных исследований [9, 12, 14] показывают, что в раннем девоне на большей части Урала также образуются дунит-клинопироксенит-габбровые комплексы урало-аляскинского типа, на заключительных этапах становления которых внедряются горнблендиты. Причина периодичности образования дунит-клинопироксенит-габбровых комплексов на Урале пока неясна и может стать предметом специального исследования.

Работа выполнена при финансовой поддержке РФФИ (грант № 09-05-00911-а) и Программ ОНЗ РАН № 2 (09-Т-5-1011) и № 10 (09-Т-5-1019).

## СПИСОК ЛИТЕРАТУРЫ

1. Балыкин П.А., Конников Э.Г., Кривенко А.П. и др. Петрология постстарцбургитовых интрузивов кемпирской-хабарнинской офиолитовой ассоциации (Южный Урал). Свердловск: УрО АН СССР, 1991. 160 с.
2. Вильданова Е.Ю., Зайцев В.П., Кравченко Л.И. и др. Корякско-Камчатский регион – новая платиноносная провинция России. СПб.: ВСЕГЕИ, 2002. 383 с.
3. Himmelberg G.R., Loney R.A. Characteristics and Petrogenesis of Alaskan-Type Ultramafic-Mafic Intrusions, Southeastern Alaska. Washington: US Geol. Surv. Prof. Pap., 1995. 47 р.
4. Ефимов А.А., Травин И.Ф. // ДАН. 1978. Т. 243. № 4. С. 991–994.
5. Bea F., Fershtater G.B., Montero P., et al. // Terra Nova. 2001. V. 13. № 6. P. 407–412.
6. Попов В.С., Беляцкий Б.В. // ДАН. 2006. Т. 409. № 1. С. 104–109.
7. Кнауф О.В. // Вестн. СПбГУ. Сер. 7. 2009. Вып. 4. С. 64–71.
8. Малич К.Н., Ефимов А.А., Ронкин Ю.Л. // ДАН. 2009. Т. 427. № 1. С. 101–105.
9. Ферштатер Г.Б., Краснобаев А.А., Беа Ф. и др. // Петрология. 2009. Т. 17. № 5. С. 539–558.
10. Ферштатер Г.Б., Пушкарев Е.В. // Изв. АН СССР. Сер. геол. 1987. № 3. С. 13–23.
11. Готтман И.А., Пушкарев Е.В. // Литосфера. 2009. № 2. С. 78–86.
12. Пушкарев Е.В., Ферштатер Г.Б., Костицин Ю.А., Травин А.В. Ежегодник-2007. Екатеринбург: ИГГ УрО РАН, 2008. С. 277–285.
13. Иванов О.К., Калеганов Б.А. // ДАН. 1993. Т. 328. № 6. С. 720–724.
14. Готтман И.А., Пушкарев Е.В. Ежегодник-2009. Екатеринбург: ИГГ УрО РАН, 2010. С. 116–121.
15. Stacey J.S., Kramers J.D. // Earth and Planet. Sci. Lett. 1975, V. 26, № 2. P. 207–221.